

対称な2重連結形状の変位境界値問題

名工大 学生員 市江 保昭
 名工大 正員 長谷部 宣男
 名工大 正員 中村 卓次

[1 はじめに] 平面弾性の混合境界値問題の一つとして、変位の一成分と外力の一成分を与える Simple Support(S.S.)境界と、変位境界を、それぞれ2カ所ずつ有する2重連結形状の混合境界値問題が考えられる。この応用として本報告では、この形状が対称で、変位境界の変位を0とした剛境界、S.S.境界を連続境界とする対称な2重連結形状の変位境界値問題を考える。この問題の複素応力関数の一般解を誘導し、この関数を用いた解析例として応力分布図を示す。また、類似の問題の外力境界値問題の解は既に得られている[1]。

[2 複素応力関数の一般解]
 例として図-1に示す矩形孔からクラック CBAH Gのある ABCDEFGHAの形状を用いる。
 物理面(Z-plane)を、単位円内(ζ -plane)に写像する次の関数を用いる[2]。

$$Z = \omega(\zeta) = E_0\zeta + \sum_{k=1}^n \frac{E_k}{\zeta_k - \zeta} + E_{-1} \quad \dots \dots \quad (1)$$

一般に境界条件式は、単位円内で正則な複素応力関数 $\phi(\zeta), \psi(\zeta)$ 、有理写像関数 $\omega(\zeta)$ を用いて、次式のように与えられる。

変位境界条件式

$$\kappa\phi(\sigma) - \frac{\omega(\sigma)}{\omega'(\sigma)} \overline{\phi'(\sigma)} - \overline{\psi'(\sigma)} = 2G(u + iv) \quad \dots \dots \quad (2)$$

応力境界条件式

$$\phi(\sigma) + \frac{\omega(\sigma)}{\omega'(\sigma)} \overline{\phi'(\sigma)} + \overline{\psi'(\sigma)} = i \int (p_x + ip_y) ds \quad \dots \dots \quad (3)$$

ここで κ はポアソン比 ν によって平面応力状態で $(3-\nu)/(1+\nu)$ 、平面ひずみ状態で $3-4\nu$ と表され、 p_x, p_y は境界上に作用する x, y 方向の外力、 ds は境界上の線素を表す。 u, v は x, y 方向の変位、 G はせん断弾性係数、 σ は単位円上の ζ である。また剛境界の解析接続の原理より $\psi(\zeta)$ は次式で与えられる。

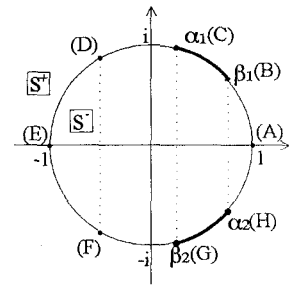
$$\psi(\zeta) = \kappa\phi(1/\zeta) - \frac{\omega(1/\zeta)}{\omega'(\zeta)} \overline{\phi'(\zeta)} \quad \dots \dots \quad (4)$$

次に解析形状に y 軸方向一様引張り荷重を与えたときの複素応力関数を導く、まず変位境界 (L境界と呼ぶ)、S.S.境界 (M境界と呼ぶ) の境界条件として、次の条件を与える。

$$\begin{aligned} 2G(u+iv) &= 0 & \text{on } L_1, L_2 \\ p_x &= 0 \text{かつ } v = 0 & \text{on } M_1 \\ p_x &= C_1 \text{かつ } v = 0 & \text{on } M_2 \end{aligned} \quad \dots \dots \quad (5-a,b,c)$$



Z-plane



zeta-plane

図-1 x軸に対称な2連結形状と、それに対応する単位円

C_1 は未定の定数で、このとき図-1に示す対称な2つの変位境界(L_1, L_2)内が剛な介在物となる無限板の境界条件になる(図-2参照)。

一様引張を受ける複素応力関数を、次式の形で与える。

$$\phi(\zeta) = \phi_1(\zeta) + \phi_2(\zeta) \quad \phi_1(\zeta) = \frac{p}{4} \omega(\zeta) \quad \dots \dots \quad (6)$$

$$\psi(\zeta) = \psi_1(\zeta) + \psi_2(\zeta) \quad \psi_1(\zeta) = \frac{p}{2} \omega(\zeta) \quad \dots \dots \quad (7)$$

ここで $\phi_1(\zeta), \psi_1(\zeta)$ は、無限遠での応力状態を表す。

式(5-a,b,c),(6),(7)より、複素応力関数 $\phi_2(\zeta)$ を用いて L, M 上での境界条件式を次式に示す。

$$\begin{aligned} \phi_2'(\sigma) - \phi_2^-(\sigma) &= 0 && \text{on } L_1, L_2 \\ \phi_2^+(\sigma) + \phi_2^-(\sigma) &= \begin{cases} R(\sigma) & \text{on } M_1 \\ \frac{2C_1}{\kappa+1} + R(\sigma) & \text{on } M_2 \end{cases} \end{aligned} \quad \dots \dots \quad (8-a,b,c)$$

ただし肩符の+,-は、 ζ が単位円に単位円外(s^+)および、単位円内(s^-)から近づいたときの $\phi_2(\zeta)$ のそれぞれの値を示す。 $\alpha_1, \beta_1, \alpha_2, \beta_2$ を含んだPlemelj関数を次式に与える。

$$\chi(\zeta) = (\zeta - \alpha_1)^{\alpha_1} (\zeta - \beta_1)^{\alpha_1} (\zeta - \alpha_2)^{\alpha_2} (\zeta - \beta_2)^{\alpha_2} \quad \dots \dots \quad (9)$$

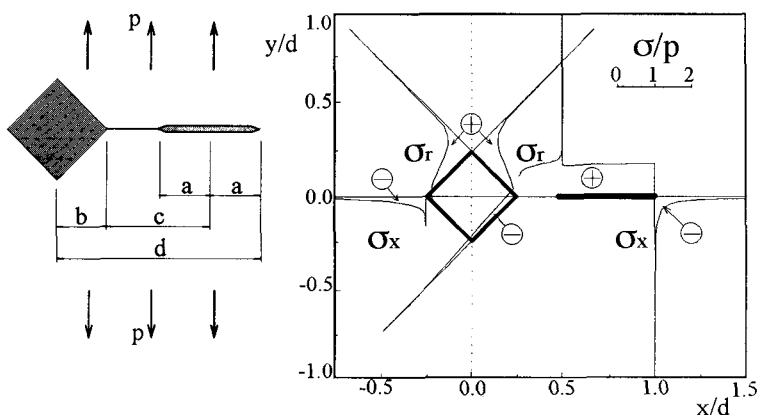
$$\begin{aligned} \chi^+(\sigma) &= \chi^-(\sigma) && \text{on } L_1, L_2 \\ -\chi^+(\sigma) &= \chi^-(\sigma) && \text{on } M_1, M_2 \end{aligned} \quad \dots \dots \quad (10)$$

$\phi_2(\zeta)$ の一般解は、領域 s^+ (単位円外)で正則となるよう式(8-a,b,c)のRiemann-Hilbert問題を解くことにより得られ、次式のように与えられる。

$$\begin{aligned} \phi_2(\zeta) &= \frac{2C_1}{2\pi i} \int_M \frac{1}{\kappa+1} \frac{\chi(\sigma)}{\chi(\zeta)} d\sigma + \frac{1}{2} \sum \left\{ 1 + \frac{\chi(\zeta)}{\chi(\zeta_k)} \right\} \frac{\frac{1}{\kappa} \left\{ (1-\kappa) \frac{p}{4} E_k + \bar{A}_k B_k \right\}}{\zeta_k - \zeta} + \frac{1}{2} \sum \left\{ 1 - \frac{\chi(\zeta)}{\chi(\zeta_k)} \right\} \frac{-\frac{1}{\kappa} \left\{ (1-\kappa) \frac{p}{4} \bar{E}_k + A_k \bar{B}_k \right\} \zeta_k^{-2}}{\zeta_k - \zeta} \\ &\quad + \frac{p}{4\kappa} \left\{ E_0 \zeta + \bar{E}_0 \frac{1}{\zeta} + \frac{\bar{E}_0}{\chi(0)} \frac{\chi(\zeta)}{\zeta} \right\} - \frac{1}{2\kappa} \sum \left\{ (1-\kappa) \frac{p}{4} E_k + \bar{A}_k B_k \right\} \zeta_k^{-1} \\ \text{ただし } A_k &= \phi(\zeta_k), B_k = \frac{E_k}{\omega(\zeta_k)}, \zeta_k = \frac{1}{\zeta_k} \end{aligned} \quad \dots \dots \quad (11)$$

ここで得られた複素応力関数の一般解を用いた解析例として、図-2に応力分布を示す。

[3まとめ] 対称な2重連結形状の変位境界値問題として、x軸に対称な2つの剛介在物を有する形状の複素応力関数の一般解を得た。解析例としてy軸方向一様引張荷重が作用したときの、応力分布を求めた。この解を用いて介在物の干渉等を、調べることができる。



[参考文献]

- [1] Hasebe et al. Archive of Applied Mechanics (in print)
- [2] Hasebe et al.(1989), J. Engrg. Mech., ASCE 115-12, 2738-2748